

Министерство науки и высшего образования

НАЦИОНАЛЬНЫЙ ИССЛЕДОВАТЕЛЬСКИЙ ЯДЕРНЫЙ УНИВЕРСИТЕТ
«МОСКОВСКИЙ ИНЖЕНЕРНО-ФИЗИЧЕСКИЙ ИНСТИТУТ»
(НИЯУ «МИФИ»)

УДК 539.17

ОТЧЁТ
О НАУЧНО-ИССЛЕДОВАТЕЛЬСКОЙ РАБОТЕ

ЯДЕРНЫЕ РЕАКЦИИ И ДЕЛЕНИЕ ЯДЕР ПРИ НИЗКИХ И СРЕДНИХ ЭНЕРГИЯХ
И ПРОБЛЕМА МИКРОСТРУКТУРЫ ДЕФОРМИРОВАННЫХ ЯДЕР

Исполнитель темы
студент группы Б19-102

подпись, дата

Д. А. Ситьков

Научный руководитель
д-р физ.-мат. наук, проф.

подпись, дата

А. Л. Барабанов

Москва 2022

Оглавление

Введение	3
1 Параметризация поверхности ядра	5
2 Волновая функция задачи	7
2.1 Угловая функция	7
2.2 Радиальная функция	8
2.2.1 Нормировочная константа	10
2.3 Аксиальная функция	11
2.3.1 Собственные значения n_z	13
3 Решение задачи	17
3.1 Энергетические уровни	17
3.2 Фундаментальные решения	17
3.2.1 Отрицательная аксиальная чётность	18
3.2.2 Положительная аксиальная чётность	20
4 Сечения реакций с нейтронами	21
4.1 Реакция $^{115}\text{In}(n, n')^{115m}\text{In}$	21
4.2 Реакция $^{115}\text{In}(n, 2n)^{114m}\text{In}$	25
Заключение	29
Приложения	30
А Преобразования для зависимости n_z	30
Список литературы	32

Введение

В процессе деления ядро проходит процесс, который заканчивается появлением двух возбужденных ядерных осколков. Они, в свою очередь, претерпевают череду распадов, снимающих возбуждение, и оказываются в своих основных состояниях (либо же в изомерных возбуждённых состояниях).

По мере протекания процесса форма ядра меняется, поддерживая и удлиняя образующийся шейный регион между двумя будущими осколками. В итоге система переходит потенциальный барьер и стремится к неадиабатичному процессу разрыва данного региона — образуются два разлетающихся ядерных осколка. Таким образом, для описания данного процесса требуется аналитическая формула, способная описать поверхность ядра в ходе такой деформации. Далее следует решить задачу Шрёдингера для потенциала, в котором находятся нуклоны в процессе деформации ядерной поверхности.

В данной работе будет описана подходящая формула задания поверхности ядра, представленная в работе [1]. Затем будет представлена первая часть решения задачи Шрёдингера в реальном потенциале ядра — решение задачи для модели двухцентрового гармонического осциллятора из работы [2] без учёта спин-орбитального взаимодействия нуклонов.

Кроме процесса деления ядер в данной работе рассматривается важный вопрос ядерного синтеза. А именно, при проектировании установок, в которых предполагается осуществление управляемой реакции термоядерного синтеза $d + t \rightarrow {}^4\text{He} + n$ с образованием нейтронов с энергией 14,1 МэВ (в системе центра масс), представляет интерес исследование реакций, в которых образуются ядра (посредством взаимодействия нейтронов с ядрами атомов конструкционных материалов и других элементов, использующихся в данных установках) в относительно долгоживущих изомерных состояниях, распадающихся посредством испускания довольно жёстких гамма-квантов: учёт этих гамма-квантов важен для оценки радиационной стойкости материалов, используемых в проектируемых установках.

В последней версии библиотеки IRDFF-II (International Reactor Dosimetry and Fusion File) [3] (базы данных EXFOR) всего 4 реакции представляют собой образования ядер-изомеров под действием нейтронов. В данной работе будут рассмотрены 2 из них:

1. ${}^{115}\text{In}(n, n'){}^{115m}\text{In}$,

2. ${}^{115}\text{In}(n, 2n){}^{114m}\text{In}$.

В настоящее время достигнут значительный прогресс в области численного моделирования ядерных реакций. Подходящим примером может служить программный комплекс TALYS-1.9 [4] с открытым кодом. Этот комплекс позволяет моделировать столкновения ядер с лёгкими частицами, в том числе нейтронами, с энергиями до 200 МэВ.

Таким образом, необходимо сравнить имеющиеся данные по сечениям образования ядер-изомеров в реакциях с нейтронами, как экспериментальные — с использованием данных из базы данных EXFOR, так и оцененные — из базы данных ENDF, с привлечением результатов расчётов, выполненных с помощью программного комплекса TALYS-1.9 со стандартным набором входных параметров из библиотеки RIPL-3 (Reference Input Parameter Library) [5].

1 Параметризация поверхности ядра

В работе [1] в цилиндрической системе координат произведена параметризация поверхности ядра в виде

$$\rho(z) = \begin{cases} \rho_1(z) = b_1 \sqrt{1 - \left(\frac{z}{a_1}\right)^2}, & z \leq z_1, \\ \rho_3(z) = -\operatorname{sgn}(1/d) \sqrt{R_3^2 - (z - c_3)^2 + 1/d}, & z_1 < z < z_2, \\ \rho_2(z) = b_2 \sqrt{1 - \left(\frac{z - c_2}{a_2}\right)^2}, & z \geq z_2, \end{cases} \quad (1.1)$$

где заданные параметры a_1, b_1, a_2, b_2 — полуоси эллипсоидов первого и второго осколков соответственно, c_2 — степень растянутости ядра; величины z_1, z_2 — точки перехода к шейному региону, R_3 — радиус окружности шейного региона, $(c_3, 1/d)$ — центр окружности шейного региона, определяются из системы нелинейных уравнений (1.2),

$$\begin{aligned} \rho_1(z_1) &= \rho_3(z_1), \\ \left[\frac{d}{dz} \rho_1(z) = \frac{d}{dz} \rho_3(z) \right]_{z=z_1}, \\ \rho_2(z_2) &= \rho_3(z_2), \\ \left[\frac{d}{dz} \rho_2(z) = \frac{d}{dz} \rho_3(z) \right]_{z=z_2}, \end{aligned} \quad (1.2)$$

к которой необходимо добавить условие сохранения объёма (1.3):

$$\int_{-a_1}^{z_1} \rho_1^2(z) dz + \int_{z_1}^{z_2} \rho_3^2(z) dz + \int_{z_2}^{a_2+c_2} \rho_2^2(z) dz = \frac{4}{3} a_1 b_1^2 + \frac{4}{3} a_2 b_2^2. \quad (1.3)$$

Реальное поле, в котором находятся нуклоны в ядре, описывается потенциалом Вудса-Саксона [6]

$$V_{\text{ws}}(\rho, z) = -\frac{V_0}{1 + \exp\left(\frac{\Delta(\rho, z)}{a}\right)}, \quad (1.4)$$

где V_0 — величина, определяющая глубину потенциала, a — параметр диффузности, характеризующий степень размытости края потенциальной ямы, $\Delta(\rho, z)$ — функция, определяющая расстояние между точкой (ρ, z) и поверхностью ядра.

Функция $\rho(z)$ параметризации (1.1) поверхности ядра входит в функцию $\Delta(\rho, z)$.

Спин-орбитальное взаимодействие нуклонов описывается дополнительным слагаемым к потенциалу Вудса-Саксона (1.4) вида

$$\hat{V}_{ls} = -\lambda \left(\frac{1}{2mc} \right)^2 (\nabla V_{WS} \times \hat{\mathbf{p}}) \cdot \hat{\mathbf{s}}, \quad (1.5)$$

где $\lambda = 35$ — безразмерная константа взаимодействия, m — масса нуклона, c — скорость света, $\hat{\mathbf{p}} = -i\hbar\nabla$ — оператор импульса, $\hat{\mathbf{s}} = \boldsymbol{\sigma}/2$ — оператор спина ($\boldsymbol{\sigma}$ — матрицы Паули).

Уравнение Шрёдингера для полного потенциала

$$\left(-\frac{\hbar^2}{2m} \nabla^2 + V_{WS} + \hat{V}_{ls} \right) \Psi(\rho, z, \varphi) = E \Psi(\rho, z, \varphi) \quad (1.6)$$

аналитически не решается.

Базис для диагонализации полного потенциала может быть получен из решения задачи с потенциалом двухцентрового симметричного осциллятора.

2 Волновая функция задачи

Потенциал двухцентрового симметричного осциллятора дан в работе [2]. Решим задачу без учёта спин-орбитального взаимодействия.

Нуклон массой m находится в поле

$$V(\rho, z) = \frac{m\omega^2\rho^2}{2} + \frac{m\omega^2(|z| - z_0)^2}{2}, \quad (2.1)$$

где частота $\omega = \omega_0 R/r$, а величина $r = r(z_0)$ может быть аналитически определена из уравнения

$$2r^3 + 3r^2z_0 - z_0^3 - 2R^3 = 0, \quad (2.2)$$

а, согласно [7, §4, п. 1], величина $\hbar\omega_0 = 40A^{-1/3}$ (MeV) и $R = r_0A^{1/3}$, где $r_0 = 1,2$ (Fm).

Уравнение Шрёдингера $\hat{\mathcal{H}}_0\Phi = E\Phi$ в этом потенциале записывается в виде

$$\left(\frac{\partial^2}{\partial\rho^2} + \frac{1}{\rho} \frac{\partial}{\partial\rho} + \frac{1}{\rho^2} \frac{\partial^2}{\partial\varphi^2} + \frac{\partial^2}{\partial z^2} - \frac{m^2\omega^2}{\hbar^2}\rho^2 - \frac{m^2\omega^2}{\hbar^2}(|z| - z_0)^2 + \frac{2mE}{\hbar^2} \right) \Phi = 0. \quad (2.3)$$

2.1 Угловая функция

Разделим переменные в первый раз

$$\Phi(\rho, z, \varphi) = \Omega(\rho, z)v(\varphi). \quad (2.4)$$

Получим, что уравнение (2.3) примет вид

$$\frac{\Omega_{\rho\rho}}{\Omega}\rho^2 + \frac{\Omega_\rho}{\Omega}\rho + \frac{\Omega_{zz}}{\Omega}\rho^2 - \frac{m^2\omega^2\rho^4}{\hbar^2} - \frac{m^2\omega^2}{\hbar^2}(|z| - z_0)^2\rho^2 + \frac{2mE}{\hbar^2}\rho^2 = -\frac{v''}{v}. \quad (2.5)$$

Поскольку слева от знака равенства стоит функция, зависящая только от (ρ, z) , а справа — только от φ , то

$$-\frac{v''(\varphi)}{v(\varphi)} = A_1^2 = \text{const}, \quad (2.6a)$$

$$v''(\varphi) + A_1^2v(\varphi) = 0, \quad (2.6b)$$

$$v(\varphi) = \text{const}_1 \cdot e^{iA_1\varphi} + \text{const}_2 \cdot e^{-iA_1\varphi}. \quad (2.6c)$$

Из условия $v(\varphi + 2\pi) = v(\varphi)$ получим, что $A_1 = n_\varphi \in \mathbb{Z}$ — целое число.

Физически осмысленно будет взять одно фундаментальное решение в виде, напри-

мер, $v(\varphi) = \text{const} \cdot e^{in_\varphi\varphi}$. Из условия нормировки $\int_0^{2\pi} |v|^2 d\varphi = 1$ получим, что

$$v(\varphi) = \frac{e^{in_\varphi\varphi}}{\sqrt{2\pi}}. \quad (2.7)$$

2.2 Радиальная функция

Разделяя переменные во второй раз

$$\Omega(\rho, z) = \chi(\rho)\zeta(z), \quad (2.8)$$

получим, что левая часть уравнения (2.5) представима в виде

$$\frac{\zeta''}{\zeta} - \frac{m^2\omega^2}{\hbar^2} (|z| - z_0)^2 + \frac{2mE}{\hbar^2} = \frac{n_\varphi^2}{\rho^2} + \frac{m^2\omega^2\rho^2}{\hbar^2} - \frac{\chi''}{\chi} - \frac{1}{\rho} \frac{\chi'}{\chi}. \quad (2.9)$$

Отсюда,

$$\frac{n_\varphi^2}{\rho^2} + \frac{m^2\omega^2\rho^2}{\hbar^2} - \frac{\chi''(\rho)}{\chi(\rho)} - \frac{1}{\rho} \frac{\chi'(\rho)}{\chi(\rho)} = -A_2 = \text{const}, \quad (2.10a)$$

$$\chi''(\rho) + \frac{1}{\rho}\chi'(\rho) + \left(-A_2 - \frac{1}{\rho^2}n_\varphi^2 - \frac{m^2\omega^2\rho^2}{\hbar^2}\right)\chi(\rho) = 0. \quad (2.10b)$$

Воспользуемся заменой вида

$$\chi(\rho) = f(\rho) \exp\left(-\frac{m\omega\rho^2}{2\hbar}\right) \rho^{|n_\varphi|}. \quad (2.11)$$

Тогда уравнение (2.10b) преобразуется к виду

$$f''(\rho) + \left(\frac{2|n_\varphi| + 1}{\rho} - \frac{2m\omega\rho}{\hbar}\right) f'(\rho) - \left(A_2 + \frac{2(|n_\varphi| + 1)m\omega}{\hbar}\right) f(\rho) = 0. \quad (2.12)$$

Если рассматривать функцию f как функцию аргумента $x = \frac{m\omega\rho^2}{\hbar}$, то необходимо произвести замены

$$f(\rho) \rightarrow f(x), \quad (2.13a)$$

$$f'(\rho) \rightarrow \frac{2m\omega\rho}{\hbar} f'(x), \quad (2.13b)$$

$$f''(\rho) \rightarrow \frac{4m^2\omega^2\rho^2}{\hbar^2} f''(x) + \frac{2m\omega}{\hbar} f'(x), \quad (2.13c)$$

где штрихом обозначена производная функции f по её аргументу. Тогда уравнение (2.12) запишется в виде

$$xf''(x) + (|n_\varphi| + 1 - x)f'(x) - \left(\frac{A_2\hbar}{4m\omega} + \frac{|n_\varphi| + 1}{2}\right)f(x) = 0. \quad (2.14)$$

На функцию $\chi(\rho)$ наложены условия

$$\lim_{\rho \rightarrow 0} |\chi(\rho)| < +\infty, \quad (2.15a)$$

$$\lim_{\rho \rightarrow +\infty} |\chi(\rho)| = 0. \quad (2.15b)$$

Согласно произведённым заменам условие (2.15a) преобразуется в условие на функцию $f(x)$ вида $\lim_{x \rightarrow 0} \left| x^{\frac{|n_\varphi|}{2}} f(x) \right| < +\infty$, которое должно удовлетворяться при любом $n_\varphi \in \mathbb{Z}$. При $n_\varphi = 0$ получим самое сильное¹⁾ условие (подразумевая непрерывность f)

$$|f(0)| < +\infty. \quad (2.16)$$

Условие (2.15b) же будет выполняться, если функция $f(x)$ растёт на бесконечности не быстрее степенной функции. Таким образом, получим второе условие

$$\lim_{x \rightarrow +\infty} |f(x)| \leq \text{const} \cdot x^N, \quad N = 0, 1, 2, \dots \quad (2.17)$$

Уравнение (2.14) с граничными условиями (2.16) и (2.17) имеет решения лишь в виде полиномов, соответствующих выбору

$$-\left(\frac{A_2\hbar}{4m\omega} + \frac{|n_\varphi| + 1}{2}\right) = n_\rho, \quad (2.18)$$

где $n_\rho \in \mathbb{N}_0$ — неотрицательное целое число. То есть, имеем задачу

$$\begin{aligned} xf''(x) + (|n_\varphi| + 1 - x)f'(x) + n_\rho f(x) &= 0, \quad 0 < x < +\infty, \\ |f(0)| < +\infty, \quad \lim_{x \rightarrow +\infty} |f(x)| &\leq \text{const} \cdot x^N, \quad N = 0, 1, 2, \dots \end{aligned} \quad (2.19)$$

Её решения — полиномы Чебышёва-Лагерра

$$f(x) = \text{const} \cdot L_{n_\rho}^{(|n_\varphi|)}(x). \quad (2.20)$$

Согласно [8, (13.128)] полиномы Чебышёва-Лагерра могут быть выражены через вырож-

¹⁾В смысле того, что из его удовлетворения следует выполнение условия при $n_\varphi \neq 0$.

денную гипергеометрическую функцию первого рода (функцию Куммера) как

$$L_{n_\rho}^{(|n_\varphi|)}(x) = \frac{(n_\rho + |n_\varphi|)!}{n_\rho! |n_\varphi|!} M(-n_\rho, |n_\varphi| + 1; x). \quad (2.21)$$

Так, решение задачи (2.10b) представляется в виде

$$\chi(\rho) = C \exp\left(-\frac{m\omega\rho^2}{2\hbar}\right) \rho^{|n_\varphi|} M\left(-n_\rho, |n_\varphi| + 1; \frac{m\omega\rho^2}{\hbar}\right), \quad (2.22)$$

где C — нормировочная константа.

2.2.1 Нормировочная константа

Будем искать действительную нормировочную константу $C \in \mathbb{R}$ такую, что

$$C^2 \int_0^{+\infty} |\chi(\rho)|^2 \rho \, d\rho = 1. \quad (2.23a)$$

Получим

$$C^2 \int_0^{+\infty} \exp\left(-\frac{m\omega}{\hbar}\rho^2\right) \rho^{2|n_\varphi|+1} M^2\left(-n_\rho, |n_\varphi| + 1; \frac{m\omega}{\hbar}\rho^2\right) = 1. \quad (2.23b)$$

Согласно [9, (4.4)]

$$\int_0^{+\infty} x^{2\gamma-1} \exp(-hx^2) M^2(-n, \gamma; hx^2) \, dx = \frac{1}{2} \frac{n! \Gamma^2(\gamma)}{h^\gamma \Gamma(\gamma + n)}. \quad (2.24)$$

В случае (2.23b) имеем

$$\gamma = |n_\varphi| + 1, \quad (2.25a)$$

$$h = m\omega/\hbar, \quad (2.25b)$$

$$n = n_\rho. \quad (2.25c)$$

Итого, получим

$$C = \left(\frac{m\omega}{\hbar}\right)^{\frac{|n_\varphi|+1}{2}} \left[\frac{2\Gamma(|n_\varphi| + n_\rho + 1)}{\Gamma(n_\rho + 1)} \right]^{\frac{1}{2}} \cdot \frac{1}{\Gamma(|n_\varphi| + 1)} = \quad (2.26a)$$

$$= \frac{1}{|n_\varphi|!} \left(\frac{m\omega}{\hbar}\right)^{\frac{|n_\varphi|+1}{2}} \sqrt{\frac{2(|n_\varphi| + n_\rho)!}{n_\rho!}}. \quad (2.26b)$$

Так, функция (2.22) в полном виде запишется как

$$\chi(\rho) = \frac{\exp\left(-\frac{m\omega\rho^2}{2\hbar}\right)\rho^{|n_\varphi|}}{|n_\varphi|!} \left(\frac{m\omega}{\hbar}\right)^{\frac{|n_\varphi|+1}{2}} \sqrt{\frac{2(|n_\varphi| + n_\rho)!}{n_\rho!}} M\left(-n_\rho, |n_\varphi| + 1; \frac{m\omega\rho^2}{\hbar}\right). \quad (2.27)$$

2.3 Аксиальная функция

Из (2.9), (2.10a) и (2.18) получим

$$\frac{\zeta''}{\zeta} - \frac{m^2\omega^2}{\hbar^2} (|z| - z_0)^2 + \frac{2mE}{\hbar^2} = \frac{2m\omega(2n_\rho + |n_\varphi| + 1)}{\hbar}. \quad (2.28)$$

Рассмотрим область $0 < z < +\infty$. Произведём замену

$$\zeta(z) = \xi(z) \exp\left(-\frac{m\omega}{2\hbar}(z - z_0)^2\right). \quad (2.29)$$

Тогда (2.28) преобразуется к виду

$$\xi''(z) - \frac{2m\omega}{\hbar}(z - z_0)\xi'(z) + \frac{2mE - 2m\omega\hbar(2n_\rho + |n_\varphi|) - 3m\omega\hbar}{\hbar^2}\xi(z) = 0. \quad (2.30)$$

Рассмотрим функцию ξ как функцию аргумента $x = \frac{m\omega}{\hbar}(z - z_0)^2$. Тогда

$$\xi(z) \rightarrow \xi(x), \quad (2.31a)$$

$$\xi'(z) \rightarrow \frac{2m\omega}{\hbar}(z - z_0)\xi'(x), \quad (2.31b)$$

$$\xi''(z) \rightarrow \frac{4m^2\omega^2}{\hbar^2}(z - z_0)^2\xi''(x) + \frac{2m\omega}{\hbar}\xi'(x), \quad (2.31c)$$

где штрихом обозначена производная функции ξ по её аргументу. Так, уравнение (2.30) преобразуется к виду

$$x\xi''(x) + \left(\frac{1}{2} - x\right)\xi'(x) + \frac{E - \hbar\omega(2n_\rho + |n_\varphi|) - \frac{3}{2}\hbar\omega}{2\hbar\omega}\xi(x) = 0. \quad (2.32)$$

Поскольку формально изначальное дифференциальное уравнение (2.28) задано на прямой $-\infty < z < +\infty$, то граничного условия в точке $z = 0$ вида $|\zeta(0)| < +\infty$ нет. Поэтому, логика получения полиномов Чебышёва-Лагерра, изложенная в разд. 2.2, здесь не применима.

Обозначим постоянный коэффициент при последнем слагаемом как

$$\frac{E - \hbar\omega(2n_\rho + |n_\varphi|) - \frac{3}{2}\hbar\omega}{2\hbar\omega} = \frac{n_z}{2}, \quad (2.33)$$

где $n_z \in \mathbb{R}$ — действительное число²⁾.

Согласно [10, Математическое дополнение Г] общее решение уравнения (2.32) имеет вид

$$\xi(x) = C_1 M\left(\frac{1-n_z}{2}, \frac{3}{2}; x\right)\sqrt{x} + C_2 M\left(-\frac{n_z}{2}, \frac{1}{2}; x\right), \quad (2.34)$$

где C_1, C_2 — произвольные постоянные.

Так, аксиальная функция при $z > 0$ имеет вид³⁾

$$\begin{aligned} \zeta(z > 0) = \exp\left(-\frac{m\omega}{2\hbar}(z - z_0)^2\right) \times \\ \times \left[C_1(z - z_0)\sqrt{\frac{m\omega}{\hbar}} M\left(\frac{1-n_z}{2}, \frac{3}{2}; \frac{m\omega(z - z_0)^2}{\hbar}\right) + \right. \\ \left. + C_2 M\left(-\frac{n_z}{2}, \frac{1}{2}; \frac{m\omega(z - z_0)^2}{\hbar}\right) \right]. \quad (2.35) \end{aligned}$$

Поскольку при замене $z \rightarrow (-z)$ дифференциальное уравнение (2.28) не изменится,

²⁾ Не обязательно целое!

³⁾ Для восстановления информации о знаке выражения $z - z_0$ необходимо «синхронно» выбирать ветви функции \sqrt{x} : так как $z - z_0 < 0$ на участке $0 < z < z_0$, то выбираем там отрицательную ветвь корня; на оставшемся участке — положительную. Таким образом, $\sqrt{x} = (z - z_0)\sqrt{m\omega/\hbar}$.

то $\zeta(-z > 0) = \zeta(z > 0)|_{z \rightarrow (-z)}$ — его решение в области $-\infty < z < 0$. То есть,

$$\begin{aligned} \zeta(z < 0) = \exp\left(-\frac{m\omega}{2\hbar}(z + z_0)^2\right) \times \\ \times \left[C'_1(z + z_0) \sqrt{\frac{m\omega}{\hbar}} M\left(\frac{1 - n_z}{2}, \frac{3}{2}; \frac{m\omega(z + z_0)^2}{\hbar}\right) + \right. \\ \left. + C'_2 M\left(-\frac{n_z}{2}, \frac{1}{2}; \frac{m\omega(z + z_0)^2}{\hbar}\right) \right], \quad (2.36) \end{aligned}$$

где C'_1, C'_2 — произвольные постоянные.

2.3.1 Собственные значения n_z

Аксиальная функция должна удовлетворять следующим требованиям:

$$[\zeta(z > 0) = \zeta(z < 0)]_{z=0}, \quad (2.37a)$$

$$\left[\frac{d}{dz} \zeta(z > 0) = \frac{d}{dz} \zeta(z < 0) \right]_{z=0}, \quad (2.37b)$$

$$\lim_{z \rightarrow +\infty} \zeta(z > 0) = 0, \quad (2.37c)$$

$$\lim_{z \rightarrow -\infty} \zeta(z < 0) = 0. \quad (2.37d)$$

Первые два условия дают соответственно⁴⁾

$$z_0 \sqrt{\frac{m\omega}{\hbar}} M\left(\frac{1 - n_z}{2}, \frac{3}{2}; \frac{m\omega z_0^2}{\hbar}\right) (C'_1 + C_1) + M\left(-\frac{n_z}{2}, \frac{1}{2}; \frac{m\omega z_0^2}{\hbar}\right) (C'_2 - C_2) = 0, \quad (2.38a)$$

$$\begin{aligned} (C'_1 - C_1) \left[\left(\frac{m\omega z_0^2}{\hbar} - 1 \right) M\left(\frac{1 - n_z}{2}, \frac{3}{2}; \frac{m\omega z_0^2}{\hbar}\right) - \frac{2m\omega z_0^2(1 - n_z)}{3\hbar} M\left(\frac{3 - n_z}{2}, \frac{5}{2}; \frac{m\omega z_0^2}{\hbar}\right) \right] + \\ + (C'_2 + C_2) z_0 \sqrt{\frac{m\omega}{\hbar}} \left[M\left(-\frac{n_z}{2}, \frac{1}{2}; \frac{m\omega z_0^2}{\hbar}\right) + 2n_z M\left(\frac{2 - n_z}{2}, \frac{3}{2}; \frac{m\omega z_0^2}{\hbar}\right) \right] = 0. \quad (2.38b) \end{aligned}$$

При больших значениях третьего аргумента функции Куммера имеем асимптотику [10, (Г, 10)]

$$M(a, c; x) = \frac{\Gamma(c)}{\Gamma(a)} x^{a-c} e^x \left(1 + \mathcal{O}(x^{-1}) \right), \quad x \rightarrow +\infty, \quad (2.39)$$

⁴⁾Для раскрытия условия непрерывности производных использовалось соотношение $\frac{d}{dx} M(a, c; x) = \frac{a}{c} M(a + 1, c + 1; x)$.

где $\Gamma(x)$ — гамма-функция. Так, получим⁵⁾

$$\begin{aligned} \zeta(z \rightarrow \pm\infty) \sim \exp\left(-\frac{m\omega}{2\hbar}(z \mp z_0)^2\right) \exp\left(\frac{m\omega(z \mp z_0)^2}{\hbar}\right) \times \\ \times \left[\pm C_{1,1'} \left(\frac{m\omega(z \mp z_0)^2}{\hbar}\right)^{\frac{1}{2}} \left(\frac{m\omega(z \mp z_0)^2}{\hbar}\right)^{-\frac{2+nz}{2}} \frac{\Gamma\left(\frac{3}{2}\right)}{\Gamma\left(\frac{1-nz}{2}\right)} + \right. \\ \left. + C_{2,2'} \left(\frac{m\omega(z \mp z_0)^2}{\hbar}\right)^{-\frac{1+nz}{2}} \frac{\Gamma\left(\frac{1}{2}\right)}{\Gamma\left(-\frac{nz}{2}\right)} \right]. \quad (2.40) \end{aligned}$$

Отсюда, условия (2.37с) и (2.37d) дают

$$\frac{C_1}{2\Gamma\left(\frac{1-nz}{2}\right)} + \frac{C_2}{\Gamma\left(-\frac{nz}{2}\right)} = 0, \quad (2.41a)$$

$$\frac{C'_1}{2\Gamma\left(\frac{1-nz}{2}\right)} - \frac{C'_2}{\Gamma\left(-\frac{nz}{2}\right)} = 0. \quad (2.41b)$$

Поскольку оператор чётности \hat{P} коммутирует с гамильтонианом $\hat{\mathcal{H}}_0$, то собственные функции гамильтониана должны быть собственными функциями оператора чётности, то есть $\hat{P}\zeta(z) = P\zeta(z)$, где собственные значения $P = \pm 1$ отвечают соответственно чётной и нечётной аксиальной функции: $\zeta(z < 0) = \zeta(z > 0)|_{z \rightarrow (-z)}$ и $\zeta(z < 0) = -\zeta(z > 0)|_{z \rightarrow (-z)}$. Из явных выражений для $\zeta(z \leq 0)$ получим

$$C'_1 = -C_1, \quad C'_2 = C_2 \quad \text{для } P = +1, \quad (2.42a)$$

$$C'_1 = C_1, \quad C'_2 = -C_2 \quad \text{для } P = -1. \quad (2.42b)$$

Видно, что для чётной аксиальной функции требование (2.38a) непрерывности в точке $z = 0$ выполняется автоматически. Аналогично, для нечётной — требование (2.38b) непрерывности производных в $z = 0$ ⁶⁾. Также для фиксированной чётности условия (2.41a) и (2.41b) оказываются эквивалентными.

Имеем (например, для чётности $P = -1$) однородную систему линейных алгебраи-

⁵⁾Нештрихованные индексы отвечают аксиальной функции при $z > 0$, штрихованные — при $z < 0$. Таким образом, в правой части эквивалентности нештрихованным индексам отвечают знаки *сверху*, штрихованным — знаки *снизу*. Разные знаки у C_1 и C'_1 обусловлены выбором положительной ветви при затягивании выражения $z \mp z_0$ под корень с учётом рассматриваемого предела $z \rightarrow \pm\infty$.

⁶⁾Для чётной функции *по определению* выполняется соотношение $f(-x) = f(x)$, следовательно, $\lim_{x \rightarrow -0} f(x) = \lim_{x \rightarrow +0} f(-x) = \lim_{x \rightarrow +0} f(x)$ — чётная функция непрерывна в $x = 0$. Производная нечётной функции — чётная функция, откуда следует автоматическая непрерывность производных.

ческих уравнений на коэффициенты⁷⁾ C_1 и C_2 :

$$\begin{cases} z_0 \sqrt{\frac{m\omega}{\hbar}} M\left(\frac{1-n_z}{2}, \frac{3}{2}; \frac{m\omega z_0^2}{\hbar}\right) C_1 - M\left(-\frac{n_z}{2}, \frac{1}{2}; \frac{m\omega z_0^2}{\hbar}\right) C_2 = 0, \\ \frac{1}{2\Gamma\left(\frac{1-n_z}{2}\right)} C_1 + \frac{1}{\Gamma\left(-\frac{n_z}{2}\right)} C_2 = 0. \end{cases} \quad (2.43)$$

Наличие нетривиальных решений обеспечивается равенством нулю определителя системы (2.43) — уравнение на собственные значения $n_z = n_z(z_0)$:

$$\frac{1}{\Gamma\left(-\frac{n_z}{2}\right)} \sqrt{\frac{m\omega(z_0)z_0^2}{\hbar}} M\left(\frac{1-n_z}{2}, \frac{3}{2}; \frac{m\omega(z_0)z_0^2}{\hbar}\right) = -\frac{1}{2\Gamma\left(\frac{1-n_z}{2}\right)} M\left(-\frac{n_z}{2}, \frac{1}{2}; \frac{m\omega(z_0)z_0^2}{\hbar}\right), \quad (2.44)$$

где $\omega(z_0) = \omega_0 R/r(z_0)$, а $r(z_0)$ удовлетворяет уравнению $2r^3 + 3r^2 z_0 - z_0^3 - 2R^3 = 0$.

Аналогичное уравнение на собственные значения n_z для $P = +1$ имеет вид

$$\begin{aligned} & \left[\frac{2m\omega(z_0)z_0^2(1-n_z)}{3\hbar} M\left(\frac{3-n_z}{2}, \frac{5}{2}; \frac{m\omega(z_0)z_0^2}{\hbar}\right) - \right. \\ & \left. - \left(\frac{m\omega(z_0)z_0^2}{\hbar} - 1 \right) M\left(\frac{1-n_z}{2}, \frac{3}{2}; \frac{m\omega(z_0)z_0^2}{\hbar}\right) \right] \frac{1}{\Gamma\left(-\frac{n_z}{2}\right)} = z_0 \sqrt{\frac{m\omega(z_0)}{\hbar}} \left[M\left(-\frac{n_z}{2}, \frac{1}{2}; \frac{m\omega(z_0)z_0^2}{\hbar}\right) + \right. \\ & \left. + 2n_z M\left(\frac{2-n_z}{2}, \frac{3}{2}; \frac{m\omega(z_0)z_0^2}{\hbar}\right) \right] \frac{1}{2\Gamma\left(\frac{1-n_z}{2}\right)}. \quad (2.45) \end{aligned}$$

Изобразим зависимость $n_z(z_0)$ для ядра ^{235}U .

⁷⁾Штрихованные коэффициенты определяются соответствующей «чётностной» зависимостью.

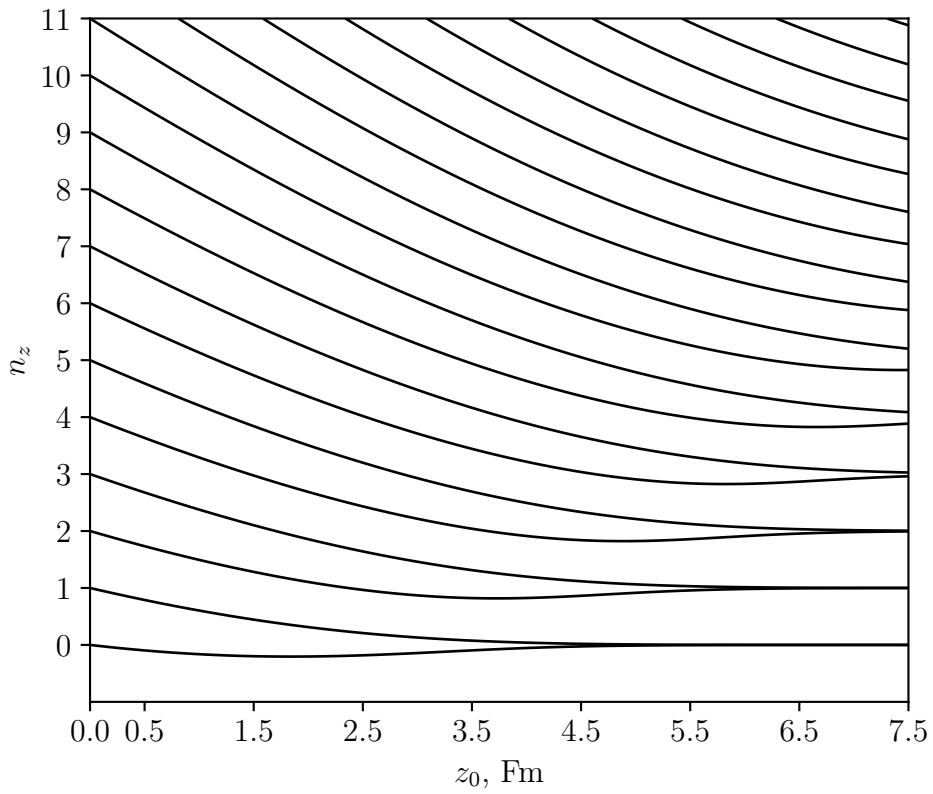


Рисунок 2.1 — Собственные значения n_z задачи на функцию $\zeta(z)$ как функции относительного положения центров осциллятора z_0 . Линии, выходящие из чётных значений $n_z(z_0 = 0)$, отвечают положительной чётности $\zeta(z)$; из нечётных — отрицательной.

Необходимая процедура обезразмеривания некоторых величин, входящих в уравнения на собственные значения, описана в прил. А.

3 Решение задачи

3.1 Энергетические уровни

Согласно зависимости (2.33) энергия связана со всеми квантовыми числами как

$$E(z_0) = \hbar\omega(z_0)(n_z(z_0) + 2n_\rho + |n_\varphi| + 3/2), \quad (3.1)$$

где $n_z(z_0) \in \mathbb{R}$, $n_\rho \in \mathbb{N}_0$, $n_\varphi \in \mathbb{Z}$.

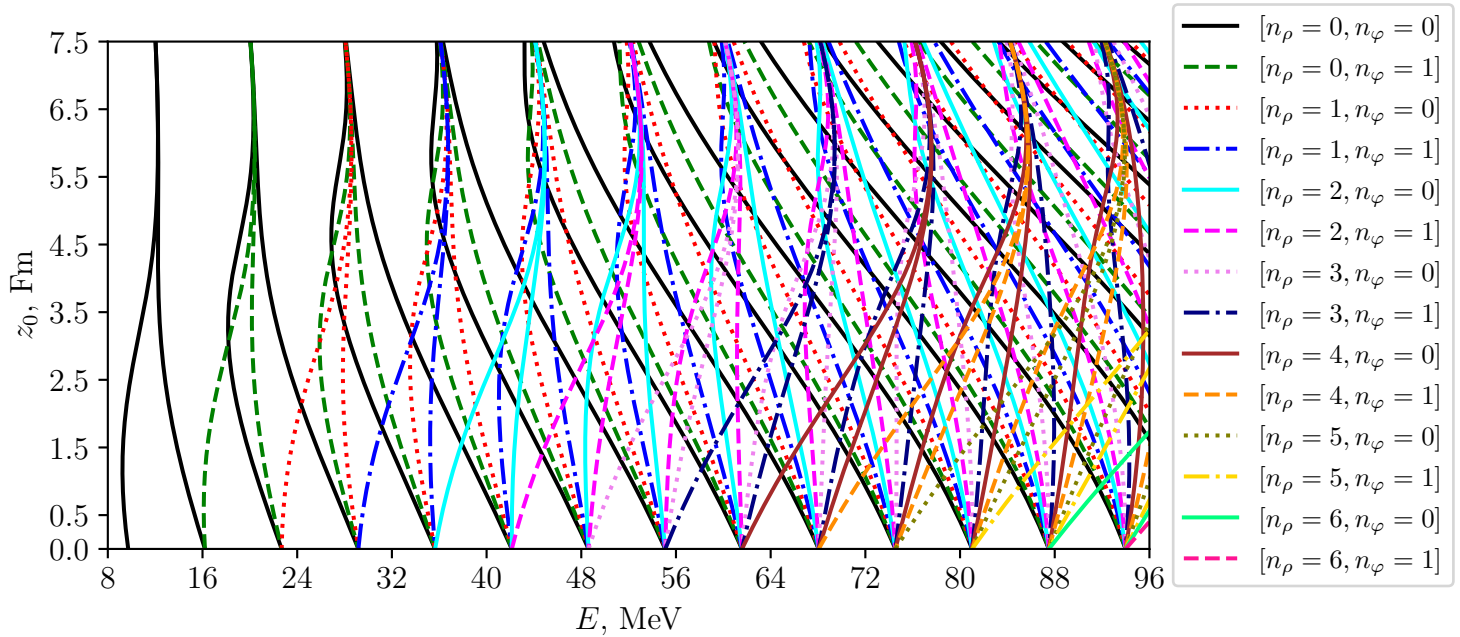


Рисунок 3.1 — Зависимость $E(z_0)$ для низших энергетических уровней для ядра ^{235}U . Каждая новая серия линий начинается с квантовым числом $n(z_0 = 0) = 0$; при движении вправо вдоль оси энергии на новую линию той же серии это число увеличивается на 1.

Из (3.1) видно, что уровни с одинаковой величиной $2n_\rho + |n_\varphi|$, но разными квантовыми числами n_ρ и n_φ будут вырождены. Например, на рис. 3.1 одинаковыми линиями описываются уровни с $n_\rho = 1, n_\varphi = 0$ и $n_\rho = 0, n_\varphi = 2$ и так далее.

Полученные зависимости на рис. 2.1 и рис. 3.1 совпадают с зависимостями, полученными в работе [2, Fig. 3].

3.2 Фундаментальные решения

Для обеих чётностей угловая и радиальная зависимости даются соответственно (нормированными) выражениями (2.7) и (2.27).

Нормировочная константа аксиальной функции аналитически не выражается через элементарные функции, поэтому везде далее она присутствует явно, и при построении графиков определялась численно из условия

$$C^2 \sum_k \Delta z_k \cdot \frac{\zeta^2(z_{k+1}) + \zeta^2(z_k)}{2} \approx 1, \quad \Delta z_k \equiv z_{k+1} - z_k, \quad (3.2)$$

где $\{z_k\} \subset Z$, а Z — область значений аргумента z , в которой функция $\zeta(z)$ не успела экспоненциально затухнуть до значений $\zeta \sim 10^{-1}$.

3.2.1 Отрицательная аксиальная чётность

При $P = -1$ имеем $C'_1 = C_1$ и $C'_2 = -C_2$. При выполнении (2.44) получим, что уравнения системы (2.43) линейно зависимы, поэтому выберем одно из них наиболее простое по виду (содержащее только гамма-функции).

Поскольку для отрицательной чётности все «квантовые числа» $n_z(z_0 = 0)$ принимают нечётные значения, то выражение $(1-n_z)/2$, стоящее под одной из гамма-функций в выбранном выражении, может принимать значения вида «минус чётное число», что даст полюсы этой гамма-функции. Поэтому, выразим все константы так, чтобы гамма-функция этого аргумента оказалась в знаменателе:

$$C_2 = -\frac{\Gamma(-\frac{n_z}{2})}{2\Gamma(\frac{1-n_z}{2})} C_1, \quad (3.3a)$$

$$C'_2 = \frac{\Gamma(-\frac{n_z}{2})}{2\Gamma(\frac{1-n_z}{2})} C_1, \quad C'_1 = C_1. \quad (3.3b)$$

Обозначим $C_1 \equiv C^{(-)}$. Из выражений (2.35) и (2.36) получим

$$\begin{aligned} \zeta^{(-)}(z > 0) = C^{(-)} \exp\left(-\frac{m\omega}{2\hbar}(z - z_0)^2\right) \times \\ \times \left[(z - z_0) \sqrt{\frac{m\omega}{\hbar}} M\left(\frac{1-n_z}{2}, \frac{3}{2}; \frac{m\omega(z - z_0)^2}{\hbar}\right) - \right. \\ \left. - \frac{\Gamma(-\frac{n_z}{2})}{2\Gamma(\frac{1-n_z}{2})} M\left(-\frac{n_z}{2}, \frac{1}{2}; \frac{m\omega(z - z_0)^2}{\hbar}\right) \right], \quad (3.4a) \end{aligned}$$

$$\zeta^{(-)}(z < 0) = C^{(-)} \exp\left(-\frac{m\omega}{2\hbar}(z + z_0)^2\right) \times \\ \times \left[(z + z_0) \sqrt{\frac{m\omega}{\hbar}} M\left(\frac{1 - n_z}{2}, \frac{3}{2}; \frac{m\omega(z + z_0)^2}{\hbar}\right) + \right. \\ \left. + \frac{\Gamma\left(-\frac{n_z}{2}\right)}{2\Gamma\left(\frac{1 - n_z}{2}\right)} M\left(-\frac{n_z}{2}, \frac{1}{2}; \frac{m\omega(z + z_0)^2}{\hbar}\right) \right], \quad (3.4b)$$

причём зависимости $n_z(z_0)$ определяются из условия $n_z(z_0 = 0) = n_z^{(-)} = 1, 3, 5, \dots$, то есть соответствующие «квантовые числа» отвечают отрицательной чётности аксиальной функции.

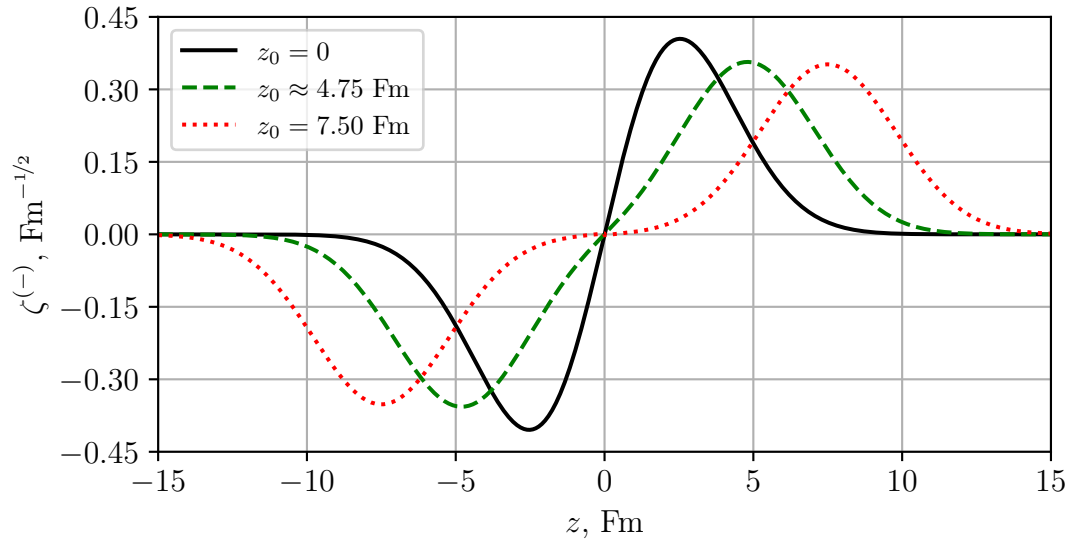


Рисунок 3.2 — Графики нечётных аксиальных функций $\zeta^{(-)}(z)$ при определённых параметрах растяжения z_0 и при зависимости $n_z(z_0)$, определяющейся «квантовым числом» $n_z(z_0 = 0) = 1$.

3.2.2 Положительная аксиальная чётность

Аналогично, при $P = +1$ получим

$$\zeta^{(+)}(z) = C^{(+)} \exp\left(-\frac{m\omega}{2\hbar}(|z| - z_0)^2\right) \times \\ \times \left[M\left(-\frac{n_z}{2}, \frac{1}{2}; \frac{m\omega(|z| - z_0)^2}{\hbar}\right) - \frac{2\Gamma\left(\frac{1-n_z}{2}\right)}{\Gamma\left(-\frac{n_z}{2}\right)} (|z| - z_0) \sqrt{\frac{m\omega}{\hbar}} \times \right. \\ \left. \times M\left(\frac{1-n_z}{2}, \frac{3}{2}; \frac{m\omega(|z| - z_0)^2}{\hbar}\right) \right], \quad (3.5)$$

причём зависимости $n_z(z_0)$ определяются из условия $n_z(z_0 = 0) = n_z^{(+)} = 0, 2, 4, \dots$

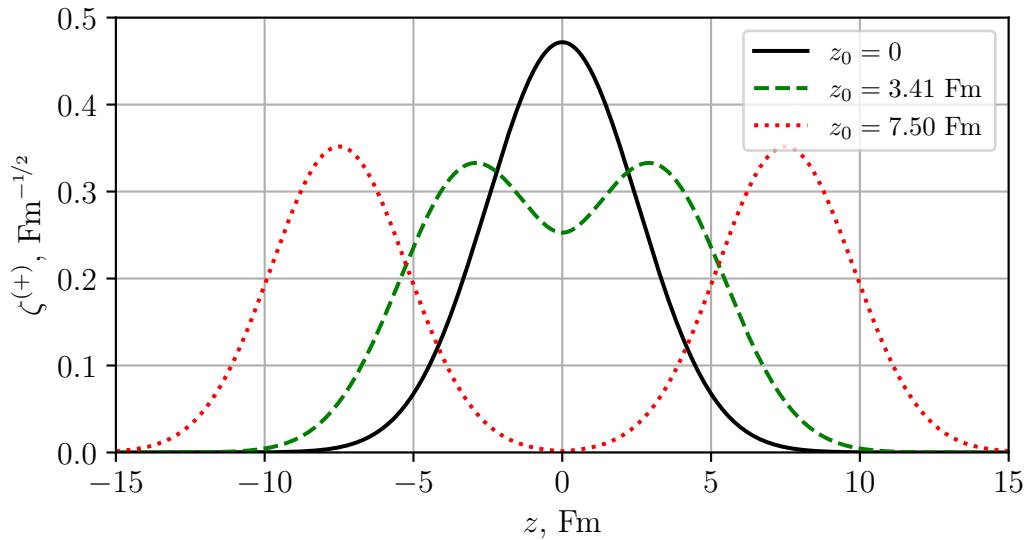
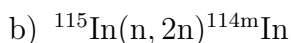
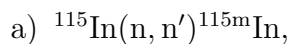


Рисунок 3.3 — Графики чётных аксиальных функций $\zeta^{(+)}(z)$ при определённых параметрах растяжения z_0 и при зависимости $n_z(z_0)$, определяющейся «квантовым числом» $n_z(z_0 = 0) = 0$.

Полученные зависимости на рис. 3.2 и рис. 3.3 совпадают с соответствующими зависимостями, изображёнными в работе [11, Fig. 3].

4 Сечения реакций с нейтронами

К анализу реакций



были привлечены следующие данные:

1. Результаты расчёта сечений реакции с выходом как основного (g), так и изомерного (m) состояний, а также полное сечение реакции с выходом обоих (g + m) состояний, выполненный программой TALYS-1.9 с параметрами по умолчанию, в зависимости от энергии падающего нейтрона от порога реакции до 60 МэВ.
2. Результаты расчёта полного и упругого сечений взаимодействия во входном канале реакции (n + ядро-мишень AZ) в зависимости от энергии нейтрона, до энергии 60 МэВ.
3. Для реакций $^AZ(n, 2n)^{A-1}Z$, в которых в выходном канале имело место взаимодействие нейтрона с остаточным ядром ^{A-1}Z , вычислялись также полное и упругое сечения взаимодействия этих частиц, n + ^{A-1}Z , в выходном канале до энергии 60 МэВ.
4. По сечениям, указанным выше в пунктах 1, 2 и 3, из базы данных ENDF извлекались оцененные зависимости этих сечений от энергии нейтронов (до 60 МэВ) из следующих библиотек: JEFF-3.3, JENDL-5.0, ENDF/B-VIII.0, ROSFOND-2010, TENDL-2021 и IRDFF-II, а из базы EXFOR — все экспериментальные данные, относящиеся к энергии нейтронов до 60 МэВ.

4.1 Реакция $^{115}\text{In}(n, n')^{115m}\text{In}$

На рис. 4.1, 4.2, 4.3 представлены сечения выхода изомерного (m), основного (g) и обоих (g + m) состояний, соответственно, ядра ^{115}In в зависимости от энергии нейтрона: расчёт по TALYS-1.9, а также данные из ENDF и EXFOR. В наиболее интересующей нас области 10–20 МэВ имеет место хорошее согласие рассчитанного по TALYS-1.9 сечения выхода изомерного (m) состояния с оцененными сечениями из ENDF и экспериментальными данными из EXFOR. На рис. 4.2 продемонстрировано согласие расчёта по TALYS-1.9 и оценки TENDL-2021 для сечения выхода основного (g) состояния; других оценок для данного сечения нет. На рис. 4.3 видно, что выше 10 МэВ имеются различающиеся предсказания для хода полного сечения выхода (g+m) ядра ^{115}In , но отсутствие экспериментальных данных делает невозможным выбор между предсказаниями.

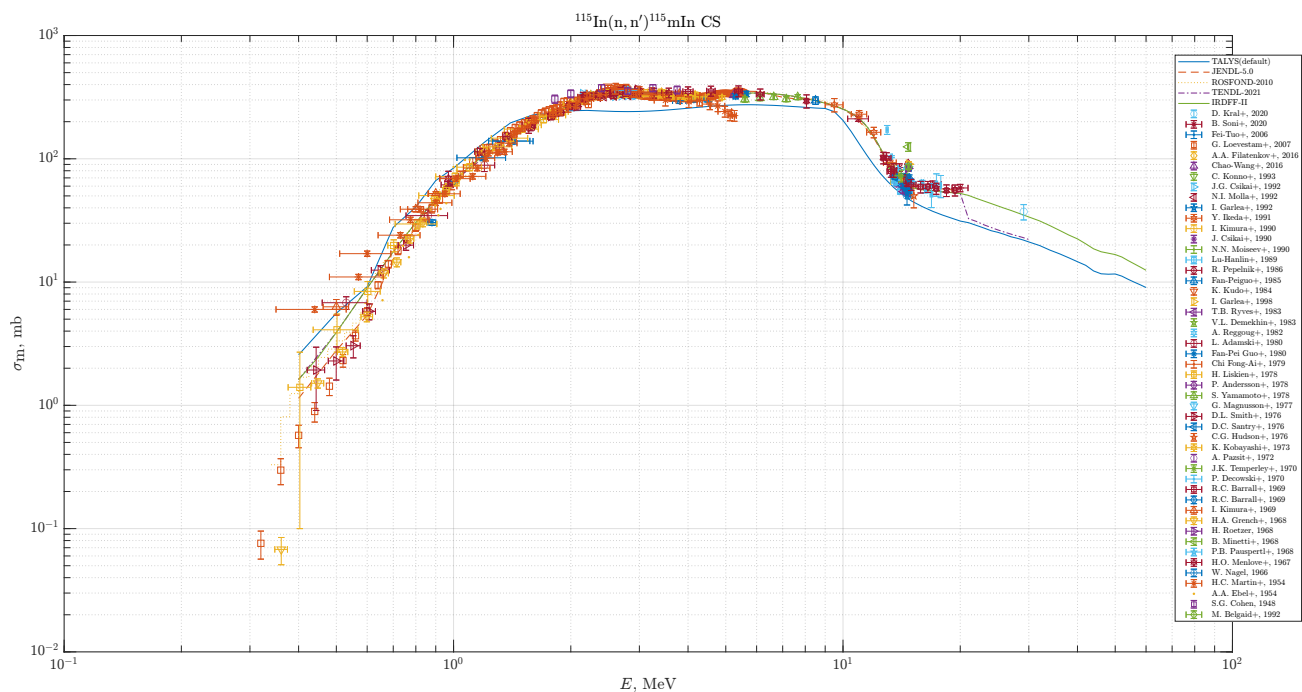


Рисунок 4.1 — Сечение выхода изомерного (m) состояния ядра ^{115}In в реакции $^{115}\text{In}(n, n')^{115}\text{In}$ в зависимости от энергии нейтрона.

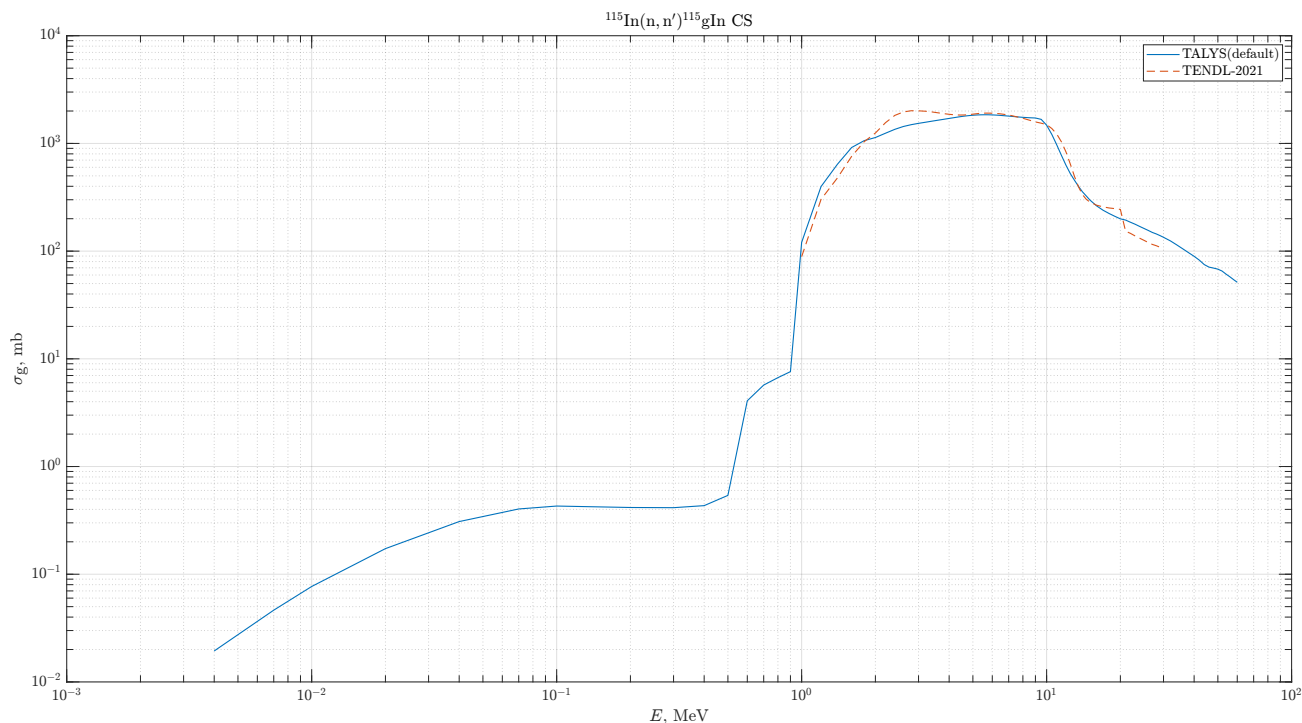


Рисунок 4.2 — Сечение выхода основного (g) состояния ядра ^{115}In в реакции $^{115}\text{In}(n, n')^{115}\text{In}$ в зависимости от энергии нейтрона.

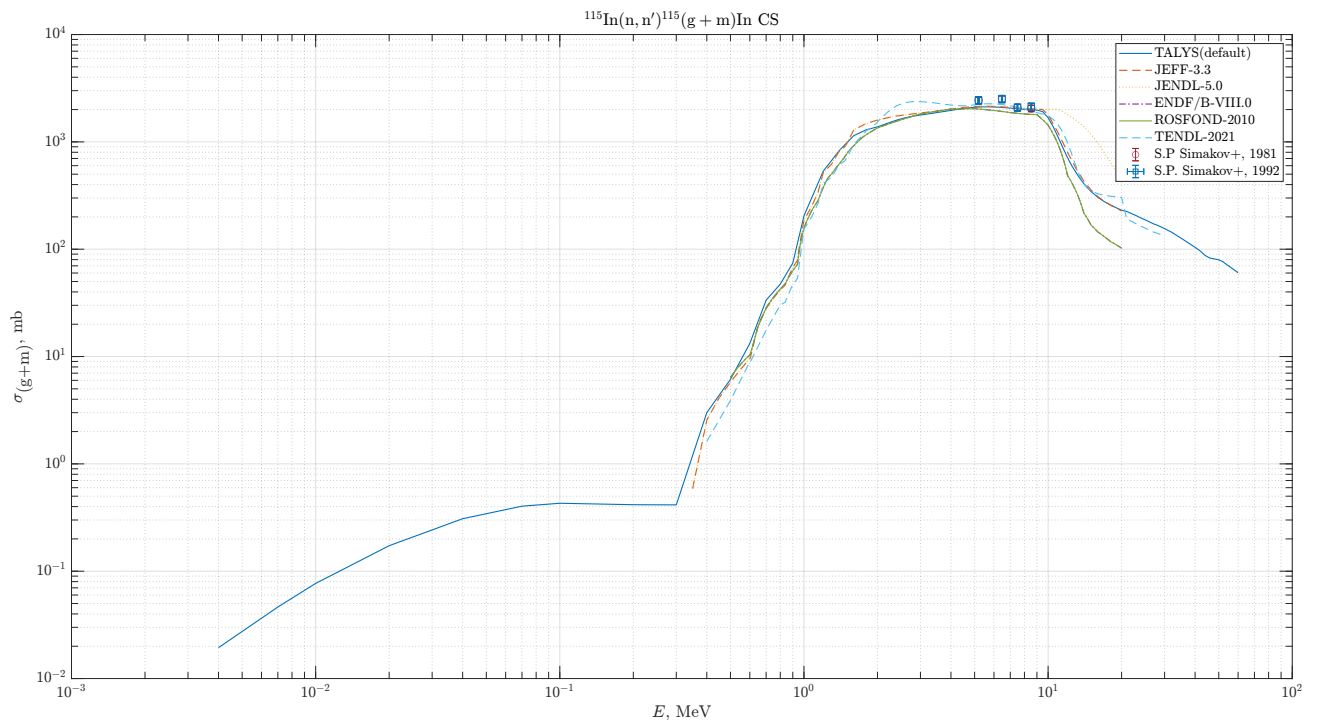


Рисунок 4.3 — Полное сечение выхода $(g + m)$ ядра ^{115}In в реакции $^{115}\text{In}(n, n')^{115}\text{In}$ в зависимости от энергии нейтрона.

На рис. 4.4 и 4.5 представлены зависимости полного и упругого сечений взаимодействия нейтронов с ядрами-мишенями ^{115}In : расчёт по TALYS-1.9, а также данные из ENDF. Видно хорошее согласие расчёта по TALYS-1.9 с оцененными значениями этих же сечений и с экспериментальными данными.

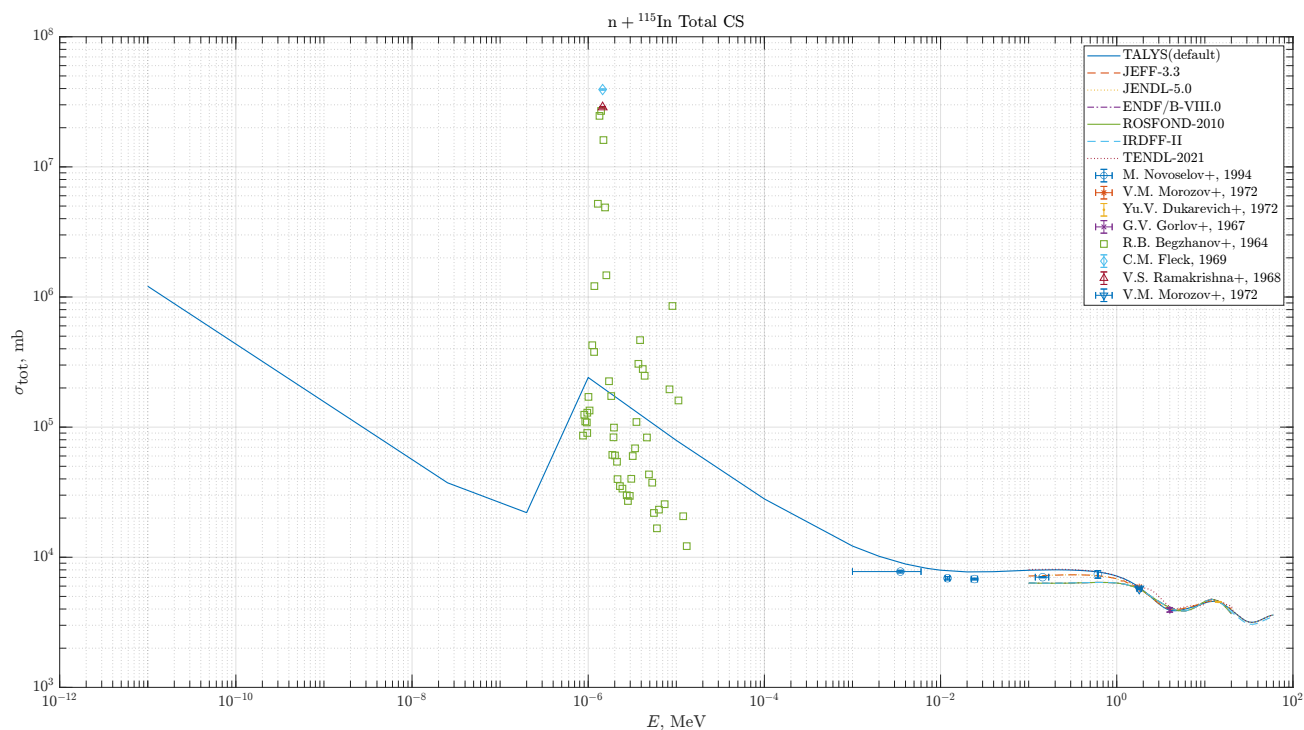


Рисунок 4.4 — Полное сечение взаимодействия нейтронов с ядрами-мишенями ^{115}In .

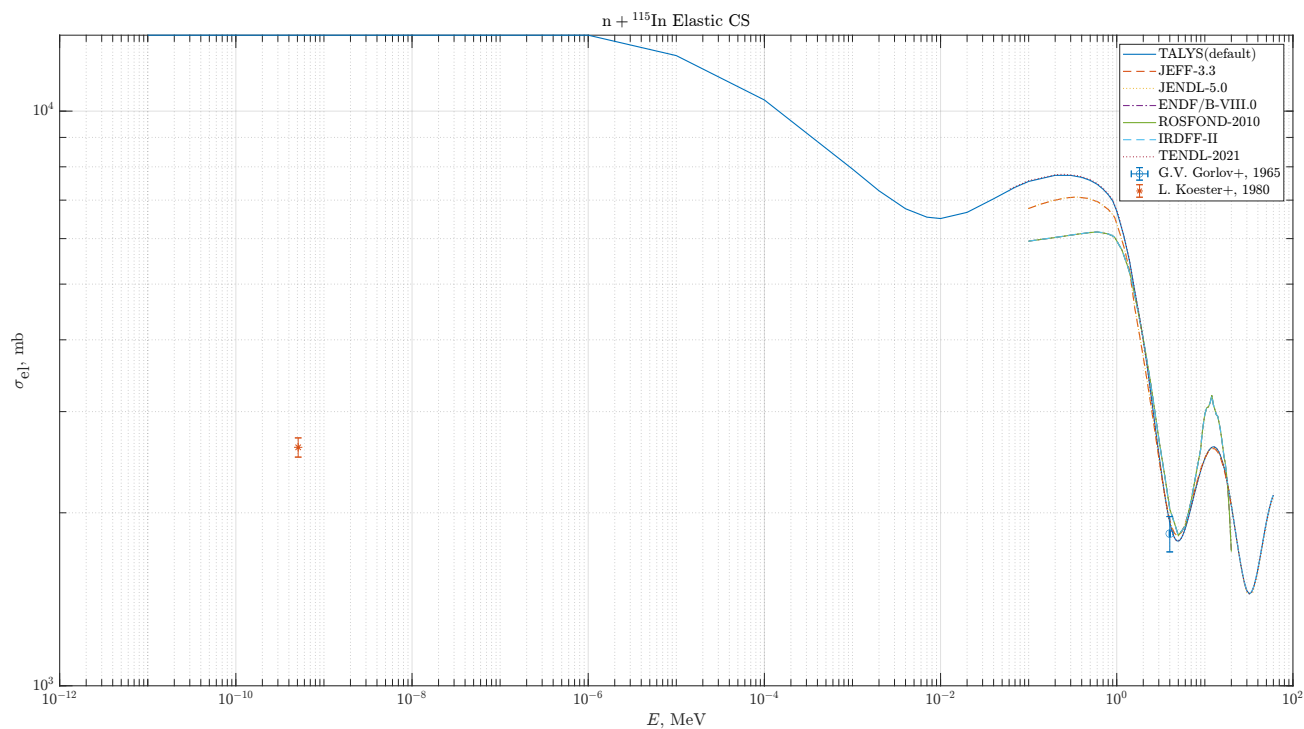


Рисунок 4.5 — Сечение упругого взаимодействия нейтронов с ядрами-мишенями ^{115}In .

4.2 Реакция $^{115}\text{In}(n, 2n)^{114\text{m}}\text{In}$

На рис. 4.6, 4.7, 4.8 представлены сечения выхода изомерного (m), основного (g) и обоих (g + m) состояний, соответственно, ядра ^{114}In в зависимости от энергии нейтрона: расчёт по TALYS-1.9, а также данные из ENDF и EXFOR. На всех этих рисунках видно схожее поведение кривых, соответствующих сечению, рассчитанному по TALYS-1.9, и оцененным сечениям. Основной массив экспериментальных данных подтверждает правильность расчёта и оценок.

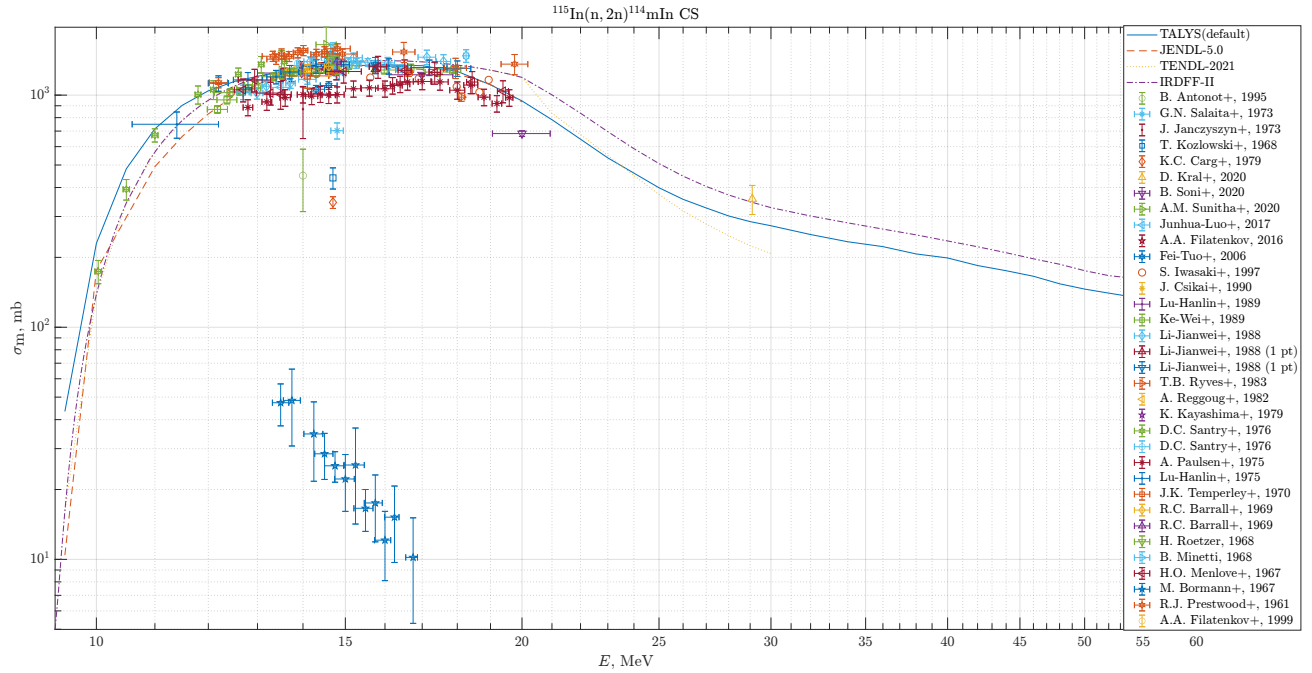


Рисунок 4.6 — Сечение выхода изомерного (m) состояния ядра ^{114}In в реакции $^{115}\text{In}(n, 2n)^{114\text{m}}\text{In}$ в зависимости от энергии нейтрона.

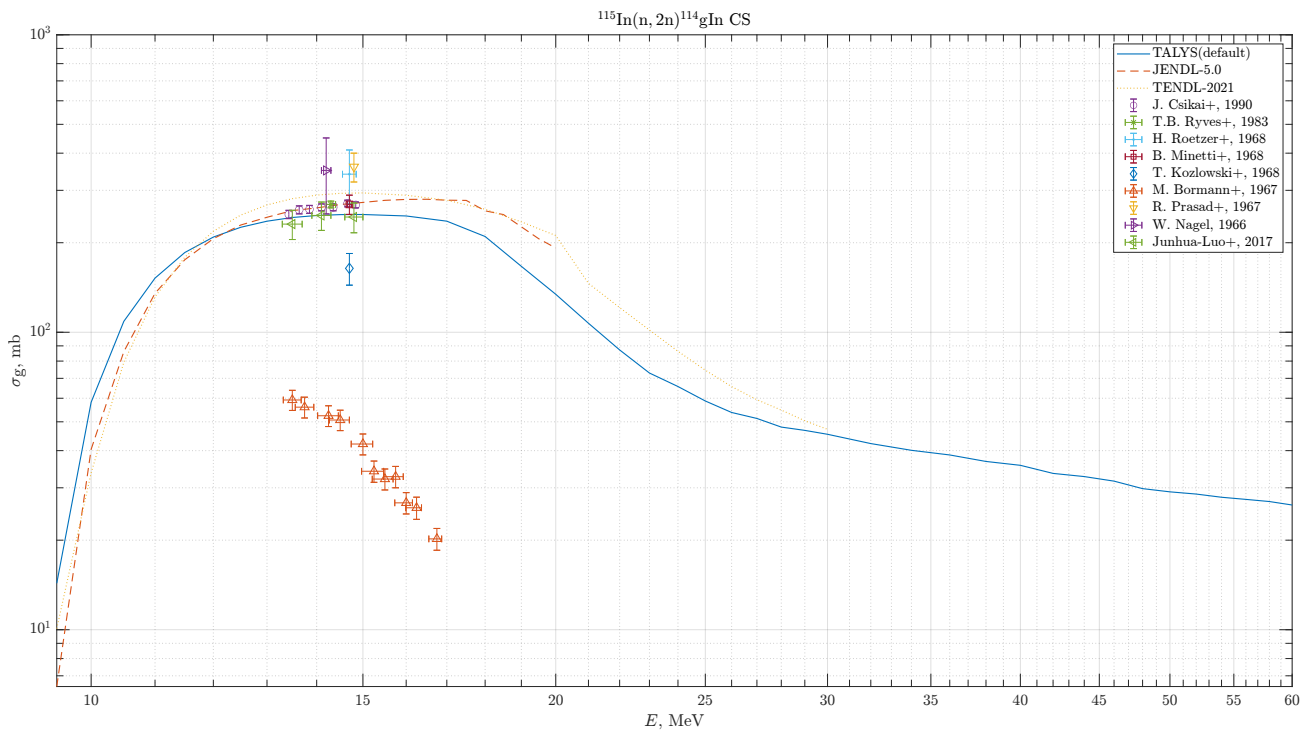


Рисунок 4.7 — Сечение выхода основного (g) состояния ядра ^{114}In в реакции $^{115}\text{In}(n, 2n)^{114}\text{In}$ в зависимости от энергии нейтрона.

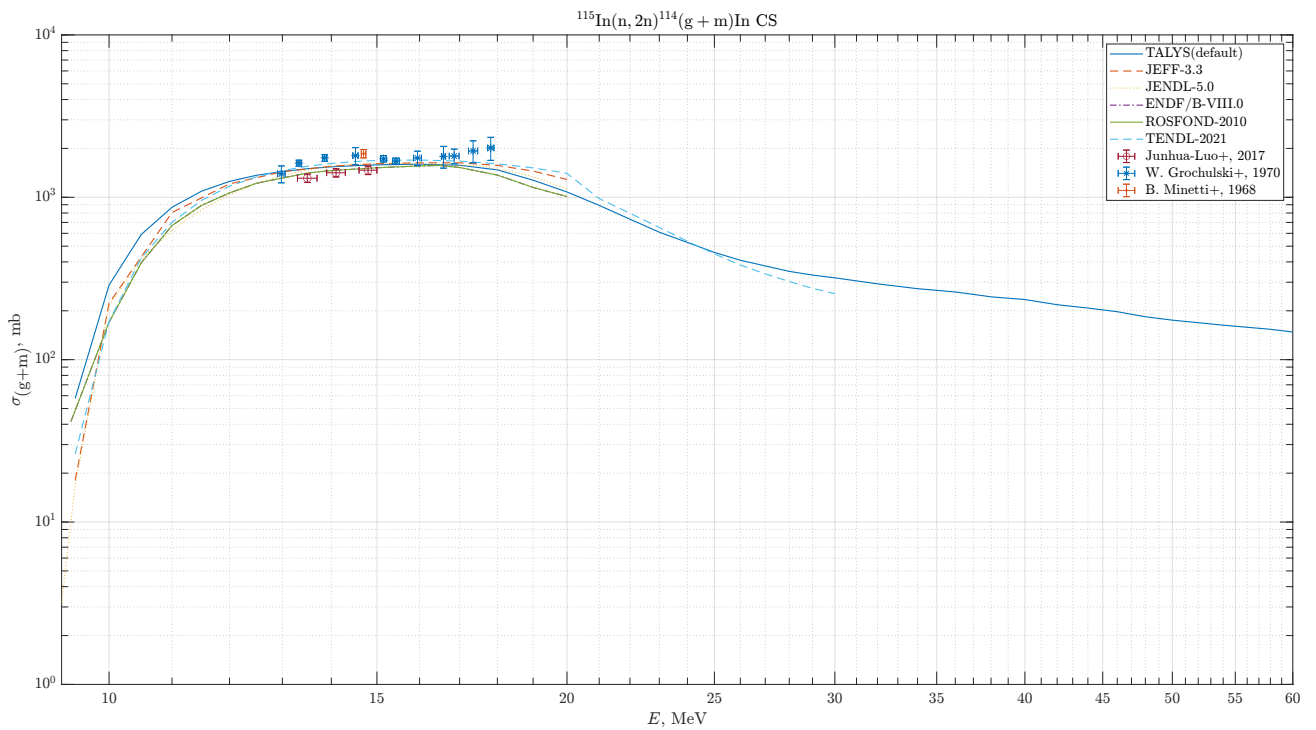


Рисунок 4.8 — Полное сечение выхода (g + m) ядра ^{114}In в реакции $^{115}\text{In}(n, 2n)^{114}\text{In}$ в зависимости от энергии нейтрона.

В реакции $^{115}\text{In}(n, 2n)^{114}\text{In}$ в выходном канале имеется также взаимодействие ней-

трона и остаточного ядра ^{114}In , поэтому были выполнены также расчёты полного и упругого сечений для этой пары частиц. Результаты представлены на рис. 4.9 и 4.10.

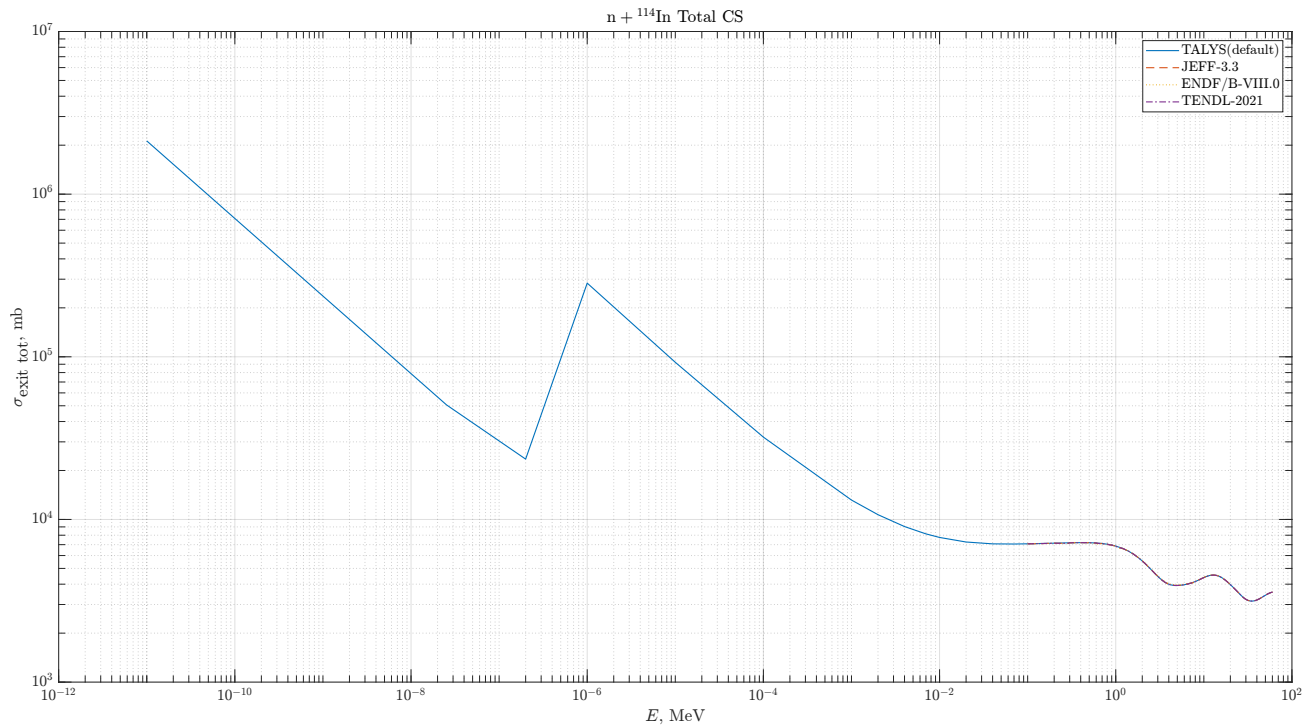


Рисунок 4.9 — Полное сечение взаимодействия нейтронов с ядрами-мишенями ^{114}In .

Ядро ^{114}In обладает очень малым временем жизни, поэтому непосредственное измерение полного и упругого сечений взаимодействия в канале $n + ^{114}\text{In}$ невозможно. Соответственно, на рис. 4.9 и 4.10 расчёт по TALYS-1.9 сравнивается с оцененными сечениями. Видно, что согласие является хорошим.

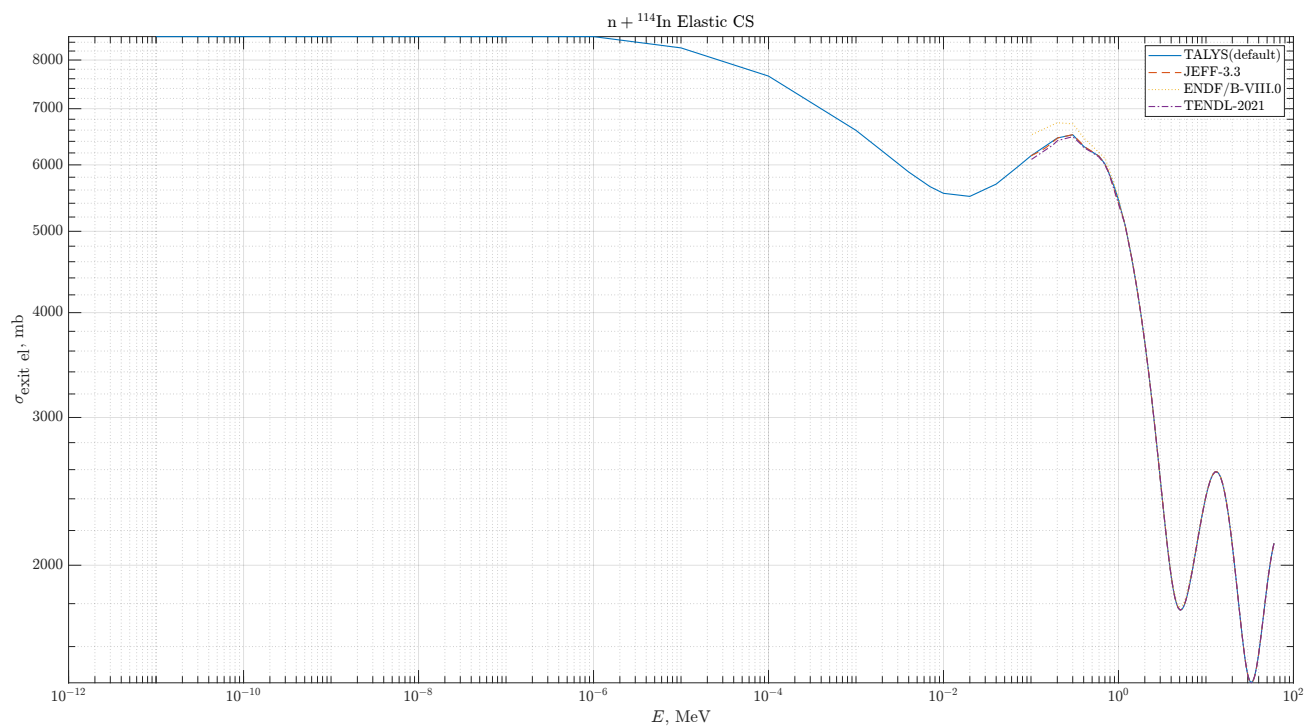


Рисунок 4.10 — Сечение упругого взаимодействия нейтронов с ядрами-мишенями ¹¹⁴In.

Заключение

Таким образом, в данной работе был получен аналитический базис из собственных функций $\Phi(\rho, z, \varphi) = \chi(\rho)\zeta(z)v(\varphi)$ задачи симметричного двухцентрового осциллятора: решены уравнения сшивки аксиальной функции $\zeta(z)$, аналитически найдены нормировочные константы угловой и радиальной функций $v(\varphi), \chi(\rho)$, для аксиальной функции $\zeta(z)$ эта константа определяется численно.

Следующим шагом для развития модели будет получение базиса, подходящего для диагонализации полного потенциала, в котором движутся нуклоны в ядре, $V = V_{WS} + V_{ls}$. Для этого необходимо в модель данного осциллятора включить спин-орбитальное взаимодействие нуклонов. Кроме базиса для диагонализации полного потенциала при рассмотрении задачи двухцентрового осциллятора со спин-орбитальным взаимодействием мы получим зависимости для энергий, которые более здраво будут описывать энергетические уровни реального ядра наподобие существующих диаграмм Нильсона. Данный шаг рассматривается в работе [11].

Во второй части данной работы выполненный анализ имеющихся данных по двум отобраным нейтронным реакциям с образованием ядер-изомеров показал, что в целом расчёты по программе TALYS-1.9 с параметрами по умолчанию (фактически — с параметрами, рекомендованными библиотекой RIPL-3 [5]) хорошо согласуются как с имеющимися экспериментальными данными, представленными в EXFOR, так и с оцененными данными из библиотек JEFF-3.3, JENDL-5, ENDF/B-VIII.0, ROSFOND-2010, TENDL-2021, представленными в ENDF.

Так, расчёты по программе TALYS-1.9 с параметрами по умолчанию позволяют получать достаточно надёжные сведения о сечениях ядерных процессов, в том числе с образованием ядер-изомеров в реакциях с нейтронами. На исследованных примерах показано, что полные и упругие сечения взаимодействия нейтронов с ядрами практически одинаково описываются как расчётом по TALYS-1.9, так и оцененными кривыми из библиотек, представленных в ENDF.

Приложения

А Преобразования для зависимости n_z

Во все уравнения на собственные значения входит величина

$$\frac{m\omega(z_0)}{\hbar} \quad (\text{A.1})$$

размерностью $[z_0]^{-2}$. Таким образом, если эту величину выразить в Fm^{-2} , то $[z_0] = \text{Fm}$.

Используем

$$\hbar = 6,582 \cdot 10^{-22} \text{ MeV} \cdot \text{s}, \quad (\text{A.2a})$$

$$m = 940 \frac{\text{MeV}}{c^2}, \quad c = 3 \cdot 10^{23} \frac{\text{Fm}}{\text{s}}. \quad (\text{A.2b})$$

Поскольку

$$\omega(z_0) = \frac{\omega_0 R}{r(z_0)}, \quad \hbar\omega_0 = 40A^{-1/3} \text{ MeV}, \quad R = r_0 \cdot A^{1/3}, \quad r_0 = 1,2 \text{ Fm}, \quad (\text{A.3})$$

где

$$r(z_0) = \frac{1}{2} \left[\frac{z_0^2}{\left\{ 2\sqrt{2}\sqrt{R^3(2R^3 + z_0^3)} + 4R^3 + z_0^3 \right\}^{1/3}} + \left\{ 2\sqrt{2}\sqrt{R^3(2R^3 + z_0^3)} + 4R^3 + z_0^3 \right\}^{1/3} - z_0 \right], \quad (\text{A.4})$$

то

$$\begin{aligned} \frac{m\omega(z_0)}{\hbar} &= \frac{m\omega_0}{\hbar} \cdot \frac{R}{r(z_0)} = \frac{m \cdot 40 \text{ MeV}}{\hbar^2} \cdot \frac{r_0}{r(z_0)} = \\ &= \frac{40 \text{ MeV} \cdot 940 \text{ MeV}^2}{9 \cdot 10^{46} \frac{\text{Fm}^2}{\text{s}^2} \cdot 6,582^2 \cdot 10^{-44} \text{ MeV}^2 \cdot \text{s}^2} \cdot \frac{r_0}{r(z_0)} = 0,964 \cdot \frac{r_0}{r(z_0)} \text{ Fm}^{-2}. \end{aligned} \quad (\text{A.5})$$

Если положить $\hbar = 1$ и приравнять (A.5) и $m\omega(z_0)$, то получим

$$m = 0,024 \frac{1}{\text{MeV} \cdot \text{Fm}^2}. \quad (\text{A.6})$$

Таким образом, получим величины, которые дают размерность $[n_z] = 1$ при исполь-

зовании $[z_0] = \text{Fm}$:

$$\hbar = 1, \tag{A.7a}$$

$$m = 0,024 \text{ MeV}^{-1} \cdot \text{Fm}^{-2}, \tag{A.7b}$$

$$\omega_0 = 40A^{-1/3} \text{ MeV}, \tag{A.7c}$$

$$r_0 = 1,2 \text{ Fm}. \tag{A.7d}$$

Список литературы

1. M. Mirea, “Supersymmetric two-center shell model for spontaneous heavy-ion emission”, — *Phys. Rev. C*, v. 54, iss. 1, p. 302–314, 1996.
2. P. Holzer, U. Mosel, and W. Greiner, “Double-centre oscillator and its application to fission”, — *Nuclear Physics A*, v. 138, iss. 2, p. 241–252, 1969.
3. A. Trkov *et al.*, “IRDFF-II: A New Neutron Metrology Library”, — *Nuclear Data Sheets*, v. 163, p. 1–108, 2020. DOI: 10.1016/j.nds.2019.12.001.
4. A. J. Koning and D. Rochman, “Modern Nuclear Data Evaluation with the TALYS Code System”, — *Nuclear Data Sheets*, v. 113, iss. 12, p. 2841–2934, 2012. DOI: 10.1016/j.nds.2012.11.002.
5. R. Capote *et al.*, “RIPL — Reference Input Parameter Library for Calculation of Nuclear Reactions and Nuclear Data Evaluations”, — *Nuclear Data Sheets*, v. 110, iss. 12, p. 3107–3214, 2009. DOI: <https://doi.org/10.1016/j.nds.2009.10.004>.
6. M. Mirea, “Two Center Shell Model with Woods-Saxon Potentials”, — *Romanian Reports in Physics*, v. 59, iss. 2, p. 523–531, 2007.
7. О. Бор и Б. Мотгельсон, *Структура атомного ядра. Том 1. Одночастичное движение*. — Москва: Мир, 1971.
8. G. B. Arfken and H. J. Weber, *Mathematical Methods for Physicists*. — 5th ed. Academic Press, 2001.
9. N. Saad and R. L. Hall, “Integrals containing confluent hypergeometric functions with applications to perturbed singular potentials”, — *Journal of Physics A: Mathematical and General*, v. 36, iss. 28, p. 7771–7788, 2003.
10. А. С. Давыдов, *Квантовая механика*. — 2-е изд. Москва: Наука, 1973.
11. D. Scharnweber, W. Greiner, and U. Mosel, “The two-center shell model”, — *Nuclear Physics A*, v. 164, iss. 2, p. 257–278, 1971.